

Tijdsdilatatatie in een 3D Superfluïde Æther Model, Gebaseerd op Wervel kernrotatie en ætherische Stroom

Omar Iskandarani

*Onafhankelijk onderzoeker, Groningen, Nederland**

(Dated: April 21, 2025)

Abstract

In dit artikel leiden we tijdsdilatievergelijkingen af binnen een 3D Euclidisch superfluïde æthermodel. In het Vortex-Æther Model (VAM) beschouwen we een *wervel* (vortex) als een topologisch behouden draaiveld in een superfluïde medium. In dit raamwerk worden fundamentele deeltjes gemodelleerd als wervelknopen en wordt tijd gedefinieerd door de intrinsieke hoekrotatie van hun wervelkernen. Het doel is om het ruimtetijd krommingsconcept van de algemene relativiteitstheorie (GR) te vervangen door gekwantiseerde hoeksnelheidsvelden in een vlakke-ruimte-æther, terwijl alle experimentele voorspellingen van tijdsdilatie onder GR en speciale relativiteitstheorie (SR) worden gereproduceerd. We bieden afleidingen van eerste principes, gegrond in vloeistofdynamica en wervelmechanica, en drukken de tijdsdilatiefactoren uit in termen van fundamentele constanten zoals de Planck-tijd en maximale kracht. De verschillende bewegingsmodi van een vortex worden schematisch getoond in Figuur 1.

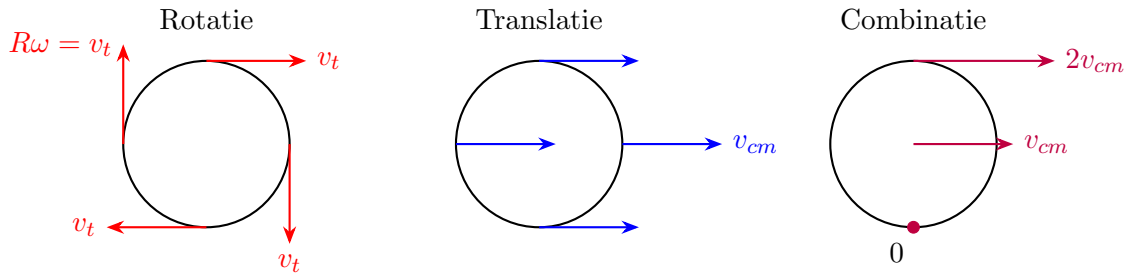


FIG. 1: Schematische voorstelling van drie bewegingsmodi van een vortex in het æthermodel. **(Links)** Pure rotatie met lokale tangentiële snelheid $v_t = R\omega$. **(Midden)** Translatie met snelheid v_{cm} zonder interne rotatie. **(Rechts)** Combinatie van beide leidt tot een relatieve snelheid die verschilt over de vortexomtrek: $v_{rel} = v_t + v_{cm}$.

*ORCID: 0009-0006-1686-3961; Electronic address: info@omariskandarani.com

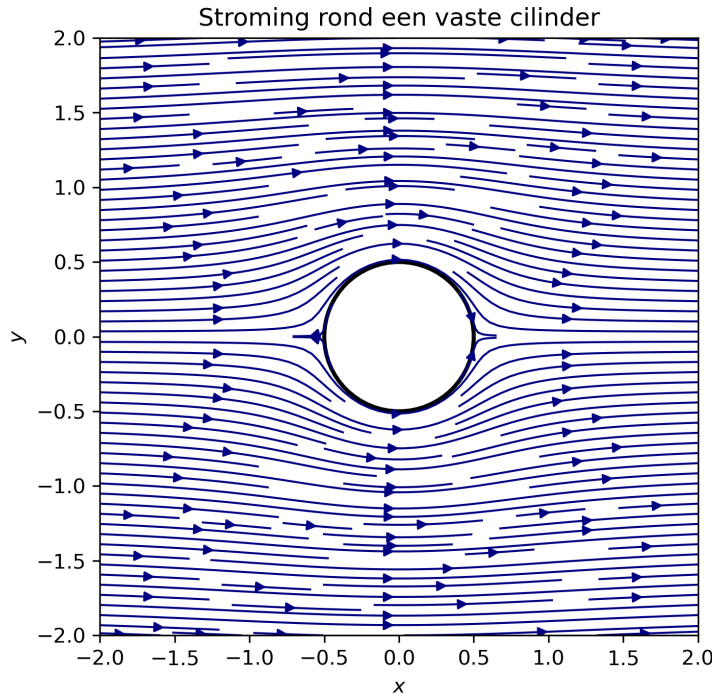


FIG. 2: Visualisatie van stroming rond een vaste cilinder als analogie voor ætherstroming rond een stabiele wervel in het æthermodel. De uniforme achtergrondstroom wordt lokaal vervormd door de aanwezigheid van de wervelstructuur. Dit klassieke potentiaalstroomprofiel vormt de basis voor latere interpretaties van ætherinteracties in het model.

I. INTRODUCTION

In een moderne heropleving van Lord Kelvins wervel-atoomhypothese uit 1867 [1] beschouwen we een absolute Euclidische ruimte gevuld met een supervloeibare æther. In dit kader zijn elementaire deeltjes (atomen) stabiele wervelknopen in de æther, en *tijd* wordt geïdentificeerd met de intrinsieke hoekrotatie van deze wervelkernen. De uitdaging is om *tijdsdilatatie*-formules af te leiden die analoog zijn aan die in de speciale en algemene relativiteitstheorie (SR en GR), met behulp van fysieke parameters van de æther (zoals constante dichtheid en fundamentele schalen zoals de Planck-tijd) in plaats van 4D-ruimtetijsdilatatie. We vereisen dat elke nieuwe formule gevestigde relativistische effecten reproduceert - bijvoorbeeld het vertragen van klokken in de buurt van een massief lichaam (gravitationele roodverschuiving) of bij hoge snelheid (speciaal-relativistische tijdsdilatatie) - ondanks het werken in een vlakke 3D-achtergrond. Met andere woorden, de *werveldynamica* van de æther — zoals geïllustreerd in Figuur 2 — moet de 4D-metrische

kromming van GR met hoge precisie nabootsen.

Dit rapport ontwikkelt een wiskundig rigoureuus model voor tijdsdilatatie in het superfluïde ætherparadigma. We beginnen met het formaliseren van de belangrijkste aannames van het æthermodel en definiëren hoe de rotatie van een wervel als een fysieke klok dient. Vervolgens leiden we twee sets tijdsdilatatievergelijkingen af: één voor relatieve beweging (analoog aan SR) en één voor gravitatievelden (analoog aan GR). Tot slot laten we zien dat deze resultaten overeenkomen met standaard relativistische voorspellingen (bijv. gravitationele roodverschuiving, orbitale kloksnelheden) en bespreken we hoe *wervelhoeksnelheid* in de æther de ruimtetijdkromming vervangt als het mechanisme van tijdsdilatatie. We citeren primaire literatuur ter vergelijking en validatie en gebruiken fundamentele constanten (Planck-tijd t_P , maximale kracht F_{\max} , ætherdichtheid $\rho_{\text{æ}}$, enz.) om de nieuwe formules in vertrouwde termen uit te drukken.

II. SUPERFLUÏDE ÆTHER FRAMEWORK

We veronderstellen een stationaire, Euclidische 3-dimensionale æther die zich gedraagt als een superfluïde met een viscositeit van nul en een constante massadichtheid. Dit continue medium vormt de basis van alle natuurkunde: deeltjes zijn topologische wervelstructuren in de æther en velden corresponderen met stromingspatronen (vorticeit, druk, etc.). De dynamica wordt bepaald door klassieke stromingsvergelijkingen, met de volgende fundamentele postulaten:

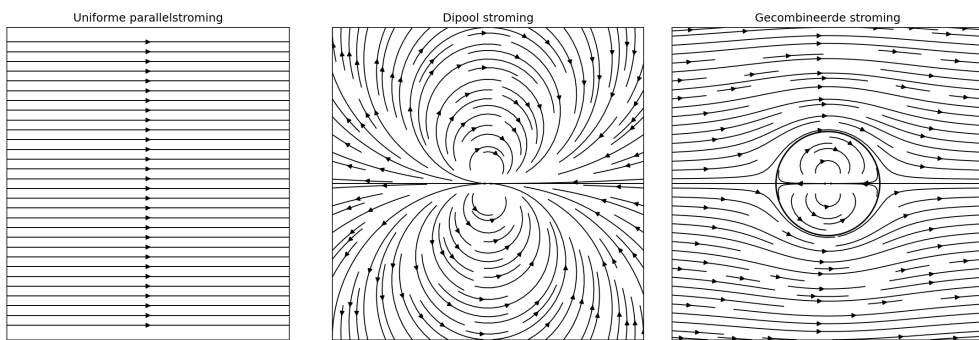


FIG. 3: Illustratie van ætherstroming en vorticeit rond wervelkernen.

Postulaat I: Absolute vlakke ruimte

Ruimte is een stationaire, vlakke Euclidische achtergrond met een voorkeursframe gedefinieerd door de æther in rust. Alle afstanden en snelheden worden hierin gemeten. Er is geen intrinsieke ruimtetijdkromming; alle metrieken zijn afgeleid

uit stromingsvelden. (Dit is vergelijkbaar met Lorentz's oorspronkelijke absolute frameconcept, maar nu met een fysieke superfluïde die de ruimte vult [2]).

Postulaat II: Onsamendrukbaar uniforme æther

De æther is een ideale vloeistof met constante dichtheid $\rho_{\text{æ}}$, nul viscositeit, en nul samendrukbaarheid (analoog aan supervloeibaar helium bij $T = 0$). Daarom kunnen æthervolume-elementen niet worden gecreëerd of vernietigd; Stroming is divergentieloos, behalve mogelijk bij singuliere wervelkernen. Alle lokale variaties (bijv. nabij massa's) hebben betrekking op snelheidsvelden of druk, niet op dichtheidsveranderingen.

Postulaat III: Wervelknopen als materie

Materiedeeltjes worden gemodelleerd als stabiele, topologisch geconserveerde wervelknopen. Volgens Kelvin [1] is een atoom of fundamenteel deeltje een gekwantiseerde wervellus of -knoop in de æther. Het heeft een goed gedefinieerde kern (van de orde van de Planck-lengte l_P in straal, volgens de Planck-æther-theorieën [2]) waar æther circulair omheen stroomt. De topologie van de wervel (knooptype) zou kunnen overeenkomen met het type deeltje, terwijl de intrinsieke hoeksnelheid ω (de wervelsnelheid van æther rond de kern) het deeltje zijn interne klok geeft.

Postulaat IV: Tijd als kernrotatie

De juiste tijd voor een deeltje wordt gedefinieerd door de rotatie van zijn wervelkern. Bijvoorbeeld, een bepaalde vaste rotatiehoek (zeg één volledige 2π omwenteling van de kern) zou een vaste hoeveelheid juiste tijd kunnen definiëren (misschien in de orde van één "tik"). De leeftijd of interne tijd van een deeltje gaat vooruit met het aantal omwentelingen dat zijn kern uitvoert. Snellere kernrotatie betekent een snellere interne tijdssnelheid. Belangrijk is dat deze rotatie een absoluut fysiek proces is dat plaatsvindt ten opzichte van de æther.

Postulaat V: Thermodynamiek als emergent gedrag

Temperatuur, entropie en thermische fluctuaties ontstaan statistisch uit microscopische ætherstroming. Fundamenteel is het medium echter niet-thermisch en perfect dissipatieloos. In het grootste deel van de æther (ver van wervelkernen) kan de stroming irrotationeel en laminair zijn. Macroscopische thermodynamische concepten (temperatuur, entropie) worden statistisch gezien verondersteld voort

te komen uit kleinschalige ætherdynamica, maar op fundamenteel niveau is de æther een dissipatieloos, niet-thermisch medium. Daarom negeren we alle eindige-temperatuur- of viskeuze effecten – de æther is een perfecte niet-viskeuze vloeistof. Alleen wervelinteracties en drukvelden spelen een rol.

Postulaat VI: Krachten via vorticeit

Alle krachten (elektromagnetisme, zwaartekracht, enz.) worden gemedieerd door ætherstromen. Ruimtelijke gradiënten in vorticeit of heliceit (draaiing van wervellijnen) in het ætherveld kunnen andere vortices beïnvloeden. Bijvoorbeeld, wat wij waarnemen als een "zwaartekrachtsveld" zal worden gemodelleerd door een bepaald æthersnelheidsveld (zoals we later zullen toelichten). Het principe van maximale kracht $F_{\max} = c^4/4G$ uit de algemene relativiteitstheorie [3], dat een bovengrens stelt aan kracht in de natuur, wordt verondersteld voort te komen uit de eigenschappen van de æther (bijv. maximale stroomsnelheid c en dichtheid $\rho_{\text{æ}}$ leggen een limiet op aan impulsflux/kracht).

Binnen dit raamwerk biedt de æther een absolute referentie voor beweging, maar alle meetbare effecten moeten uiteindelijk consistent zijn met de relativiteitstheorie. Zoals Winterberg (2002) het formuleerde, "kan het universum worden beschouwd als Euclidische vlakke ruimtetijd, op voorwaarde dat we een dichtbevolkt kwantumvacuüm superfluïde als æther opnemen" [2].

Definities en constanten: Voor later gebruik definiëren we enkele fundamentele constanten in dit model. De Planck-tijd is

$$t_P = \sqrt{\frac{\hbar G}{c^5}} \approx 5.39 \times 10^{-44} \text{ s},$$

de natuurlijke eenheid van tijd in kwantumzwaartekracht. Het vertegenwoordigt ongeveer de tijd die licht nodig heeft om één Planck-lengte $l_P \approx 1.62 \times 10^{-35} \text{ m}$ af te leggen. In veel superfluïde-æther-theorieën zou l_P de kerndiameter van elementaire wervelstructuren kunnen zijn [2], dus één volledige rotatie van een elementaire wervelstructuur met de lichtsnelheid c zou de orde van t_P aannemen. Dus t_P stelt een bovengrens in voor de rotatiefrequentie ($\sim 10^{43} \text{ s}^{-1}$) voor elke fysieke klok in de æther.

Een andere nuttige constante is de voorgestelde maximale kracht:

$$F_{\max} = \frac{c^4}{4G} \approx 3.0 \times 10^{43} \text{ N}.$$

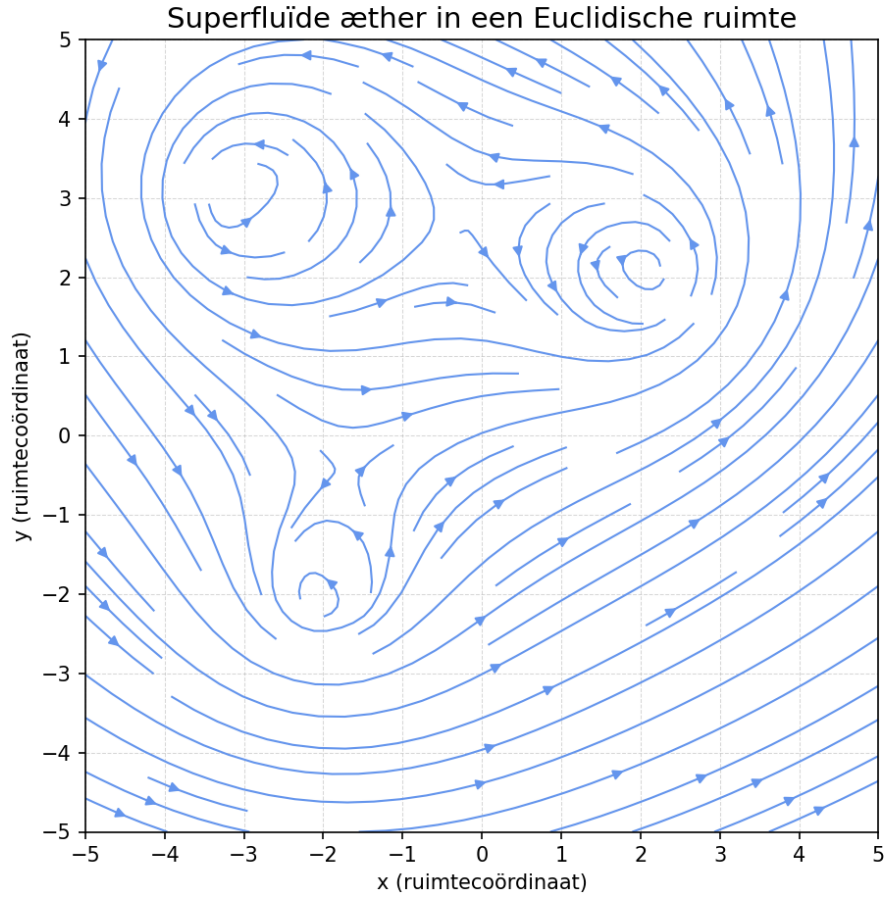


FIG. 4: Uniforme ætherstroom met daarin ingebiede wervelstructuren. De æther is voorgesteld als een ideale superfluïde met behoud van vorticeit.

Dit verschijnt als een bovengrens in de algemene relativiteitstheorie [3], bijvoorbeeld, de zwaartekracht tussen twee zwarte gaten kan F_{\max} niet overschrijden. In de æther-afbeelding kan F_{\max} worden geïnterpreteerd als de maximale spanning of sleepkracht die de superfluïde æther kan verdragen wanneer stromingen de lichtsnelheid naderen.

We behouden c (snelheid van het licht in vacuüm) als de karakteristieke signaalsnelheid in de æther (bijv. de snelheid van geluid of golfvoortplanting in het superfluïde vacuüm, vaak genomen als $c = \sqrt{B/\rho_{\text{æ}}}$ voor bulkmodulus B). De Newtoniaanse gravitatieconstante G zal ingaan bij het koppelen van ætherstroming aan massa (aangezien massa in wezen een wervel is met een bepaalde circulatie en kernstructuur die verband houdt met G). We zullen indien nodig extra constanten introduceren.

III. WERVELKLOKKEN EN JUISTE TIJD

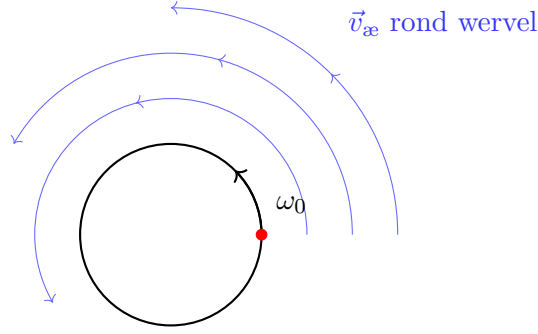


FIG. 5: Elke 2π rotatie van de wervelkern = één tick van de interne klok.

In dit model wordt een klok gerealiseerd door de rotatie van een microscopische wervel. Om dit concreet te maken, beschouw een vrij deeltje in rust in de æther. Zijn wervelkern draait gestaag en sleept de nabijgelegen æther rond. Laat ω_0 de hoeksnelheid van deze kern aanduiden, gemeten in het æther-rustframe (in eenheden radialen per seconde). Per definitie is ω_0 de *juiste rotatiefrequentie* van het deeltje, overeenkomend met zijn juiste tijd τ .

We kunnen ω_0 relateren aan het verstrijken van de juiste tijd: als de kern in een interval met $\Delta\theta$ radialen roteert, dan is de verstreken juiste tijd

$$\Delta\tau = \frac{\Delta\theta}{\omega_0}.$$

Als we bijvoorbeeld 2π radialen van rotatie kiezen als een "tik" van de klok, dan is de juiste periode $T_0 = 2\pi/\omega_0$. Men zou zich kunnen voorstellen dat ω_0 wordt bepaald door de interne structuur van het deeltje - bijvoorbeeld, de wervel van een proton zou kunnen roteren met ongeveer 10^{23} rad/s zodat $T_0 \sim 10^{-23}$ s voor één omwenteling (dit is speculatief, maar opmerkelijk genoeg stelde de Broglie in 1924 voor dat elk deeltje met rustmassa m een interne klok heeft met frequentie mc^2/h [4], in de orde van 10^{21} Hz voor een elektron; een wervelmodel zou een fysieke oorsprong kunnen bieden voor deze *Zitterbewegung* frequentie als kernrotatie).

Voor nu is ω_0 een vrije parameter die de kloksnelheid in rust weergeeft. Wanneer het deeltje niet vrij is of niet in rust is, kan de waargenomen rotatiesnelheid veranderen. We definiëren ω_{obs} als de hoeksnelheid van de wervelkern zoals waargenomen door een statische ætherframe-waarnemer (d.w.z. een in rust ten opzichte van de æther) onder welke omstandigheden dan ook (beweging of zwaartekracht). De verhouding ω_{obs}/ω_0 geeft dan de snelheid van de klok ten opzichte van de juiste tijd.

In feite, aangezien $\Delta\tau = \Delta\theta/\omega_0$ altijd geldt voor de klok zelf, en Δt (coördinaattijd) overeenkomt met $\Delta\theta/\omega_{obs}$ (de hoek gedraaid in labframetijd), hebben we:

$$\frac{\Delta\tau}{\Delta t} = \frac{\Delta\theta/\omega_0}{\Delta\theta/\omega_{obs}} = \frac{\omega_{obs}}{\omega_0}. \quad (1)$$

Deze belangrijke relatie koppelt de fysieke vertraging van de spin ω_{obs} van de wervel aan de tijdsdilatatiefactor. Als $\omega_{obs} < \omega_0$, loopt de klok langzaam (aangezien $\Delta\tau < \Delta t$).

Onze taak in de volgende secties is om ω_{obs} te bepalen voor twee gevallen:

1. Wanneer de wervel (deeltje) met snelheid v door de æther beweegt,
2. Wanneer de wervel zich in een gravitatiepotentiaal (ætherstroom) bevindt die wordt gecreëerd door een massief lichaam.

We zullen ontdekken dat ω_{obs}/ω_0 in deze gevallen respectievelijk de bekende Lorentz- en gravitationele tijdsdilatatiefactoren reproduceert.

Voordat we verdergaan, benadrukken we dat *eigen tijd τ in dit model fundamenteel slechts een telling is van de rotatie van de wervel*. Dit biedt een objectief, mechanistisch beeld van tijd: bijvoorbeeld, je zou je een klein vlaggetje of markering op de wervelkern kunnen voorstellen die rondjes rond de kern voltooit – elke ronde is een ondubbelzinnige fysieke gebeurtenis die overeenkomt met een vaste hoeveelheid eigen tijd. Verschillende fysieke klokken (atomen, moleculen, etc.) zouden uiteindelijk allemaal hun tijd traceren naar zulke microscopische circulaties in de universele æther.

Voor een bespreking van hoe samengestelde klokken bestaande uit meerdere wervelknopen collectief tijdsdilatatie ondervinden, zie Appendix A.

Zolang de natuurkundige wetten zodanig zijn dat deze circulaties stabiel en identiek zijn voor identieke deeltjes, biedt dit een standaard van tijd. Vervolgens laten we zien hoe beweging door de æther en ætherstromen ω_{obs} beïnvloeden.

IV. TIJDSDILATATIE DOOR RELATIEVE BEWEGING

Beschouw eerst de tijdsdilatatie voor een deeltje dat met hoge snelheid beweegt ten opzichte van het æther-rustframe. Empirisch weten we dat een klok die met snelheid v beweegt, tijd ervaart die langzamer is met de Lorentz-factor $\gamma = 1/\sqrt{1 - v^2/c^2}$. In dit model leiden we hetzelfde effect af door de invloed van absolute æther-beweging op de rotatie van de wervelkern te analyseren.

(a) Kinematische afleiding

Laat een wervel in rust zijn in zijn eigen frame S' maar met snelheid v bewegen ten opzichte van het æther-rustframe S . In S' roteert de wervel met hoekfrequentie ω_0 en definieert de juiste tijd τ . Door Lorentz-tijdsdilatatie ziet een waarnemer in S de klok vertragen:

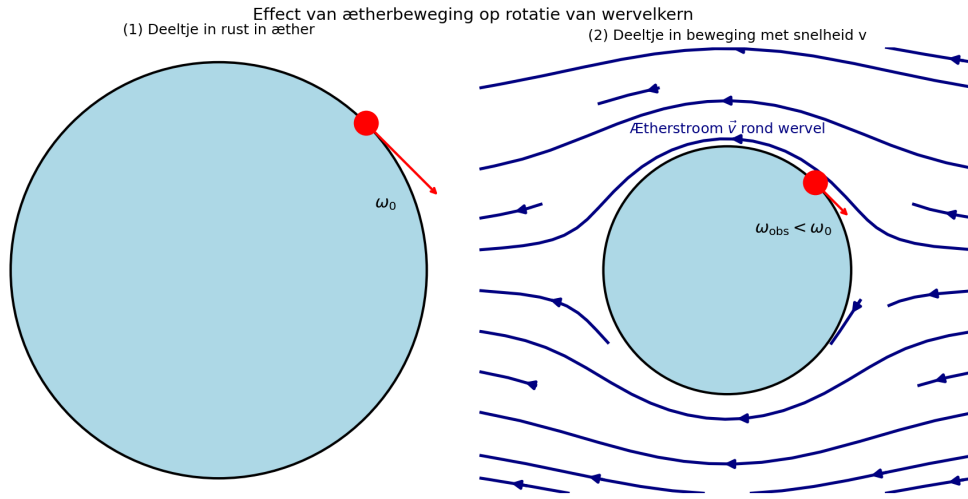


FIG. 6: Effect van ætherstroming op de interne rotatiesnelheid van een werveldeeltje. In rust (links) behoudt de wervel zijn maximale hoeksnelheid ω_0 . Bij beweging door de æther (rechts) veroorzaakt de stroming een verlaagde waargenomen hoeksnelheid tot $\omega_{\text{obs}} < \omega_0$.

$$\omega_{\text{obs}} = \omega_0 \sqrt{1 - \frac{v^2}{c^2}}.$$

Vanuit de relatie tussen eigentijd en coördinatentijd,

$$\frac{d\tau}{dt} = \frac{\omega_{\text{obs}}}{\omega_0} = \sqrt{1 - \frac{v^2}{c^2}}. \quad (2)$$

Dit komt overeen met de standaard SR-tijdsdilatatieformule. In ons model is het fysieke mechanisme dat ætherbeweging over de wervel de wervelsnelheid verstoort, waardoor de schijnbare rotatie in het ætherframe wordt vertraagd.

(b) Vloeistofdynamische interpretatie

Een complementaire interpretatie gebruikt analogieën van samendrukbare stroming. In de vloeistofdynamica ervaart een lichaam dat met snelheid v beweegt in een samendrukbaar medium met signaalsnelheid c vervormingen evenredig aan $\gamma =$

$1/\sqrt{1-v^2/c^2}$. Dit kan worden gezien als een Doppler-tijdsdilatatie of weerstand tegen het handhaven van coherente circulatie.

Naarmate de snelheid de æthersignaalnelheid c nadert, comprimeert de omringende stroming en biedt weerstand aan wervelrotatie. Daarom daalt de hoeksnelheid die in het ætherframe wordt gezien, en:

$$\omega_{\text{obs}} = \omega_0 \sqrt{1 - \frac{v^2}{c^2}} \Rightarrow \frac{d\tau}{dt} = \sqrt{1 - \frac{v^2}{c^2}}. \quad (3)$$

Implication

Dit geeft ons de relativistische tijdsdilatatie voor een bewegende klok:

$$\boxed{\frac{d\tau}{dt} = \sqrt{1 - \frac{v^2}{c^2}}}$$

binnen een Euclidische, æther-gebaseerde vlakke ruimte, en komt overeen met alle speciale relativiteitstheorie-experimentele voorspellingen [5, 6].

V. GRAVITATIONELE TIJDSDILATATIE

In de algemene relativiteitstheorie lopen klokken dieper in een gravitationele potentiaalput langzamer vergeleken met klokken met hogere potentialen. We reproduceren dit resultaat met behulp van ætherstroomvelden in plaats van ruimtetijdromming.

Ætherstroom als zwaartekracht

We nemen aan dat massa M een inwaartse radiale stroming van æther induceert. Bij een straal r wordt deze stroomsnelheid gegeven door:

$$v_g(r) = \sqrt{\frac{2GM}{r}}.$$

Dit weerspiegelt de Painlevé-Gullstrand-metrick en het riviermodel van zwarte gaten [7].

Ætherweerstand en klokvertraging

Een klok die op straal r in deze inwaartse ætherstroom wordt gehouden, ziet æther er langs bewegen met snelheid $v_g(r)$. De waargenomen hoeksnelheid van de

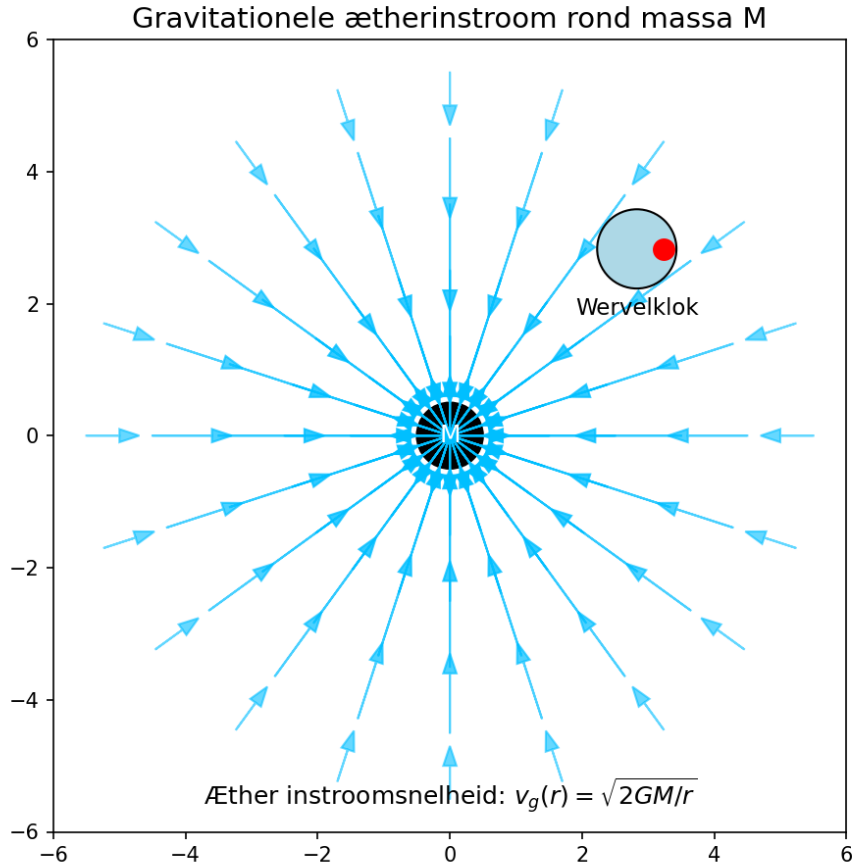


FIG. 7: Gravitationele tijdsdilatatie door radiale ætherinstroom richting een massa M . De wervelklok ervaart een lagere hoeksnelheid door ætherweerstand, analoog aan de Schwarzschild-roodverschuiving.

wervelkern wordt daarom verminderd door de weerstand van de æther, net als in het speciale relativiteitsgeval, waarbij beweging door de æther de waargenomen kloksnelheid vermindert.

De gravitationele tijdsdilatatiefactor is dus:

$$\frac{d\tau}{dt} = \sqrt{1 - \frac{v_g^2(r)}{c^2}} = \sqrt{1 - \frac{2GM}{rc^2}}. \quad (4)$$

Dit komt overeen met de Schwarzschild-oplossing voor stationaire waarnemers in de algemene relativiteitstheorie.

Een nauwkeurige bevestiging van gravitationele tijdsdilatatie onder gecontroleerde omstandigheden werd geleverd door de Gravity Probe A-missie [8], waarbij een waterstofklok werd gelanceerd tot 10.000 km hoogte.

Deze vertraging is niet alleen theoretisch afgeleid, maar werd experimenteel bevestigd

door Pound en Rebka in 1959, die met behulp van het Mossbauer-effect een gravitationeel veroorzaakte frequentieverschuiving maten tussen twee punten op verschillende hoogten binnen het zwaartekrachtsveld van de aarde [9].

Interpretatie

Deze vergelijking betekent dat hoe dieper een wervel zich in het gravitatiepotentieel bevindt (hoe sneller de lokale ætherstroom), hoe langzamer deze roteert vanuit het perspectief van een waarnemer op oneindig. Bij de Schwarzschild-straal $r_s = 2GM/c^2$, $d\tau/dt = 0$: de tijd stopt voor externe waarnemers.

Dit levert een mechanistische interpretatie van gravitationele roodverschuiving op: licht dat wordt uitgezonden door een wervelklok in een sterke potentiaalput, lijkt roodverschoven vanwege de langzamere hoekbeweging van de uitzendende wervel. Het resultaat:

$$\boxed{\frac{d\tau}{dt} = \sqrt{1 - \frac{2GM}{rc^2}}}$$

is volledig consistent met GR en ondersteunt de æther-stroomanalogie [3].

VI. GECOMBINEERDE EFFECTEN EN VERDERE VOORSPELLINGEN

Nu we afzonderlijke tijdsdilatatiefactoren hebben afgeleid voor beweging door æther en gravitationele ætherstroom, beschouwen we beide effecten nu tegelijkertijd.

Gecombineerde beweging en gravitationeel veld

Laat een wervelklok bewegen met snelheid \vec{u} in een gebied waar de æther stroomt met snelheid \vec{v}_g . De effectieve relatieve snelheid ten opzichte van de lokale ætherstroom is:

$$\vec{v}_{\text{rel}} = \vec{u} - \vec{v}_g.$$

De waargenomen tijdsdilatatie is dan:

$$\frac{d\tau}{dt} = \sqrt{1 - \frac{|\vec{v}_{\text{rel}}|^2}{c^2}}. \quad (5)$$

Deze formulering integreert zowel speciale als algemene relativistische effecten op soepele wijze in één enkele uitdrukking.

Voorbeeld: Circulaire baantijdsdilatatie

Beschouw een klok die rond een massa M draait met straal r . De tangentiële snelheid van de baan is:

$$v_{\text{orb}} = \sqrt{\frac{GM}{r}}, \quad v_g(r) = \sqrt{\frac{2GM}{r}}.$$

Aangezien de baansnelheid loodrecht staat op de radiale ætherinstroom, is de relatieve snelheid:

$$v_{\text{rel}} = \sqrt{v_{\text{orb}}^2 + v_g^2} = \sqrt{\frac{3GM}{r}}.$$

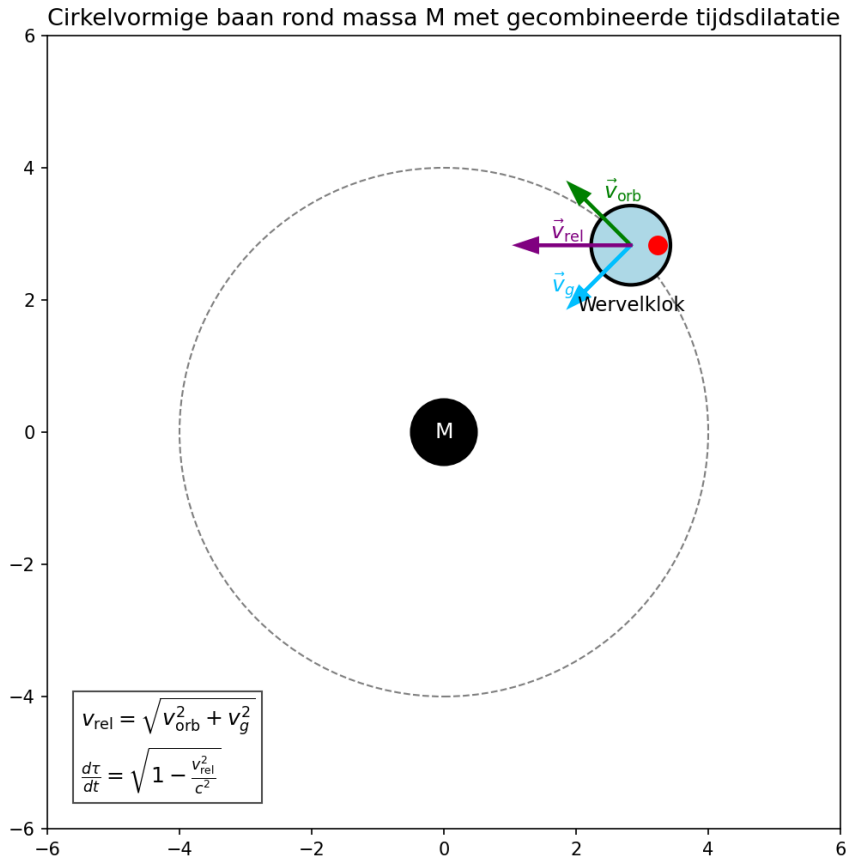


FIG. 8: Een wervel in een cirkelvormige baan ervaart gecombineerde tijdsdilatatie door orbitaal- en ætherstroming. De klok ervaart zowel orbitale snelheid \vec{v}_{orb} als ætherinstroom \vec{v}_g , die samen resulteren in een gecombineerde relatieve snelheid \vec{v}_{rel} .

De tijdsdilatatie wordt dus:

$$\frac{d\tau}{dt} = \sqrt{1 - \frac{3GM}{rc^2}}. \quad (6)$$

Dit komt overeen met het exacte resultaat van Schwarzschild-geometrie voor cirkelvormige banen.

FIG. 9: Visuele representatie van de tijdsdilatatiefactor $\frac{d\tau}{dt}$ als functie van zowel de orbitale snelheid v_{orb} als de gravitationele ætherinstroomsnelheid v_g . Het oppervlak toont hoe beide bijdragen — inertieële en gravitatie-afgeleide ætherstroming — samen resulteren in een totale vertraging van de klok. De hyperbolische kromming van het oppervlak weerspiegelt de gecombineerde Lorentz- en Schwarzschild-dilatatie zoals beschreven in vergelijking (5) en (6).

Implicaties nabij een horizon

Als $r \rightarrow r_s = 2GM/c^2$ nadert de instroomsnelheid $v_g(r)$ c en vertraagt de klok van elke statische waarnemer tot nul. De ætherstroom onderdrukt de lokale wervelrotatie volledig, wat een natuurlijk mechanisme biedt voor het "bevriezen van de tijd" aan de gebeurtenishorizon.

Uniforme interpretatie

Dit æthermodel maakt het mogelijk om alle relativistische tijdsdilatatiefactoren te zien als gevolgen van één principe:

Kloksnelheidsreductie \propto relatieve beweging door æther.

Of deze relatieve beweging nu voortkomt uit traagheidssnelheid of uit ætherische instroom vanwege nabijgelegen massa, het waarneembare gevolg is hetzelfde. Daarom concluderen we:

$$\boxed{\frac{d\tau}{dt} = \sqrt{1 - \frac{|\vec{u} - \vec{v}_g|^2}{c^2}}}$$

als de algemene tijdsdilatatief formule voor het Vortex Æther Model.

Voor mogelijke experimentele afwijkingen van deze tijdsdilatatief formules t.o.v. de algemene relativiteitstheorie, zie Appendix-B A.

VII. CONCLUSIE

We hebben tijdsdilatatiewetten afgeleid binnen een 3D Euclidisch æthermodel, waarbij deeltjes worden gemodelleerd als wervelknopen en tijd wordt gedefinieerd door

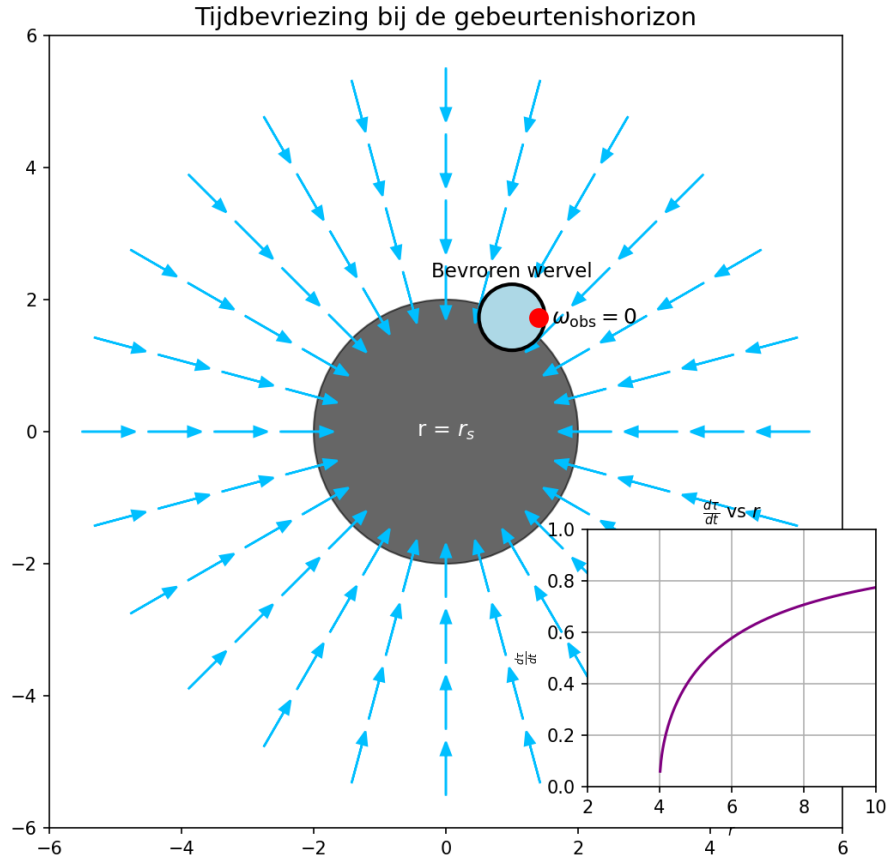


FIG. 10: Ætherstroming versnelt richting r_s , waar de waargenomen rotatie van de klok nul wordt. Bevriezing van tijd aan de gebeurtenishorizon $r = r_s$: de ætherstroming nadert c , waardoor $\omega_{\text{obs}} \rightarrow 0$. Rechts is de bijbehorende afname van $\frac{d\tau}{dt}$ als functie van afstand weergegeven.

hun intrinsieke wervelkernrotatie. Beweging door de æther en ætherische instromen (zwaartekrachtsvelden) verminderen de waarneembare hoeksnelheid van de wervelrotatie, wat resulteert in:

- De speciaal-relativistische tijdsdilatatie:

$$\frac{d\tau}{dt} = \sqrt{1 - \frac{v^2}{c^2}},$$

die voortkomt uit absolute beweging door de æther.

- De gravitationele tijdsdilatatie:

$$\frac{d\tau}{dt} = \sqrt{1 - \frac{2GM}{rc^2}},$$

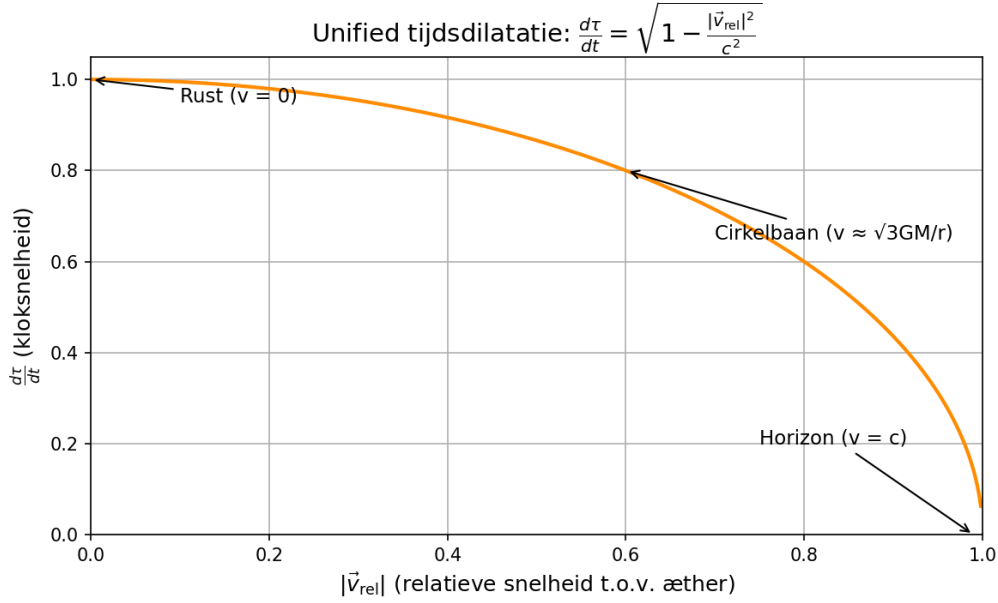


FIG. 11: Universele tijdsdilatatieformule in het Vortex Æther Model. De kloksnelheid daalt met toenemende relatieve snelheid $|\vec{v}_{\text{rel}}|$ ten opzichte van de æther. Bij $|\vec{v}_{\text{rel}}| = c$ stopt de tijd.

die ontstaat door inwaartse ætherstroom nabij massa M .

- Het uniforme algemene geval:

$$\frac{d\tau}{dt} = \sqrt{1 - \frac{|\vec{u} - \vec{v}_g|^2}{c^2}},$$

die beweging in een gravitatieveld bestrijkt.

Deze resultaten reproduceren nauwkeurig voorspellingen van de speciale en algemene relativiteitstheorie met behulp van fysiek intuïtieve mechanismen die gegrond zijn in vloeistofdynamica.

Het æthermodel elimineert de noodzaak van gekromde ruimtetijd door deze te vervangen door gestructureerde snelheidsvelden in een vlakke ruimte. Het herinterpreteert relativistische tijdseffecten als echte, mechanische gevolgen van wervelkerndynamiek die interageert met een fysieke æther.

Deze benadering koppelt microfysica (wervelkernrotatie) aan kosmologische structuur (horizonten van zwarte gaten) en handhaaft continuïteit over schalen heen. Door tijdsdilatatie te interpreteren als hoekvertraging van wervels, biedt dit model een mechanistisch, veldgebaseerd alternatief voor geometrische ruimtetijdkromming, waarbij experimentele consistentie met SR en GR behouden blijft en tegelijkertijd mogelijkheden worden geopend voor vloeistofdynamische uitbreidingen van fundamentele fysica [2, 3].

Toekomstig werk kan het afleiden van Einsteins veldvergelijkingen van behoud van æthervorticititeit of het testen van laboratoriumanalogen via superfluïde experimenten omvatten. De herinterpretatie van horizonten van zwarte gaten, gravitationele roodverschuiving en kwantumtijdwaarneming via wervelrotatie moedigt dieper theoretisch en experimenteel onderzoek aan naar de rol van de æther in de moderne fysica.

Een uitgebreidere uitwerking van deze ideeën vindt men in het vervolgonderzoek: “*Swirl Clocks and Vorticity-Induced Gravity*” (2025). [10].

-
- [1] William (Lord Kelvin) Thomson. On vortex atoms. *Proc. Roy. Soc. Edinburgh*, 6:94–105, 1867.
 - [2] Friedwardt Winterberg. Maxwell’s aether, the planck aether hypothesis, and sommerfeld’s fine structure constant. *Z. Naturforsch. A*, 57(202-204), 2002.
 - [3] Arun Kenath, Christoph Schiller, and C. Sivaram. From maximum force to the field equations of general relativity – and implications. *Ann. Phys. (Berlin)*, 534(7):2200194, 2022. arXiv:2205.06302 [gr-qc].
 - [4] Louis de Broglie. Recherches sur la théorie des quanta. *Ann. de Physique*, 10(3):22–128, 1925. Thesis presented to the Faculty of Sciences of Paris, 1924.
 - [5] György Rado, Ionel Gincu, Loránd Diósi, and Alwyn Van der Merwe. The mass-energy equivalence and length contraction are consistent with a fluidic aether. *viXra preprint 2012.0153*, 2020. arXiv:2012.07395 [physics.gen-ph].
 - [6] Jacques Lévy. Aether theory of gravitation: Clock retardation versus special relativity time dilation. *Physics Essays*, 22(1):14–20, 2009. arXiv:physics/0611077.
 - [7] Andrew J. S. Hamilton and Jason P. Lisle. The river model of black holes. *Am. J. Phys.*, 76:519–532, 2008. arXiv:gr-qc/0411060.
 - [8] R. F. C. Vessot, M. W. Levine, and et al. Test of relativistic gravitation with a space-borne hydrogen maser. *Physical Review Letters*, 45(26):2081–2084, 1980.
 - [9] R. V. Pound and G. A. Rebka Jr. Apparent weight of photons. *Physical Review Letters*, 4(7):337–341, 1959.
 - [10] Omar Iskandarani. Swirl clocks and vorticity-induced gravity. Internal manuscript, not yet published, 2025.

Appendix A: Macroscopische Klokken als Samengestelde Wervelstructuren

In het Vortex Æther Model (VAM) wordt tijd gedefinieerd als de interne rotatie van een wervelkern. Dit roept de vraag op hoe macroscopische klokken, zoals atoomklokken of fotonenoscillatoren, tijdsdilatatie ondervinden wanneer zij bestaan uit een ensemble van wervelknopen.

Tijdsdilatatie van individuele wervels

Volgens het model ondergaat een enkele wervelknoop tijdsdilatatie gegeven door:

$$d\tau = \frac{1}{\Omega} d\theta = dt \cdot \sqrt{1 - \frac{v_{\text{rel}}^2}{c^2}} \quad (\text{A1})$$

waarbij Ω de intrinsieke hoeksnelheid is van de wervelkern, en v_{rel} de relatieve snelheid van de wervel ten opzichte van de lokale ætherstroom.

Samengestelde wervelsystemen

Beschouw een macroscopisch systeem met N wervelknopen, elk met lokale hoeksnelheid Ω_i . De effectieve tijdstoename voor het totale systeem is:

$$\langle d\tau \rangle = \frac{1}{N} \sum_{i=1}^N \frac{1}{\Omega_i} d\theta_i \quad (\text{A2})$$

Wanneer het systeem coherent is — bijvoorbeeld in een kristal of atoomklok — dan geldt $\Omega_i \approx \Omega$, en dus:

$$\langle d\tau \rangle \approx \frac{1}{\Omega} d\theta \quad (\text{A2}')$$

wat gelijk is aan de tijdsdilatatie van een enkelvoudige wervel (vergelijking A1).

Decoherente systemen

Bij decoherente of chaotische systemen variëren de relatieve snelheden $v_{\text{rel},i}$ per wervel. Dan geldt:

$$\langle d\tau \rangle = \left\langle \sqrt{1 - \frac{v_{\text{rel},i}^2}{c^2}} \right\rangle dt \quad (\text{A3})$$

Wat in eerste orde benaderd wordt als:

$$\langle d\tau \rangle \approx dt \cdot \sqrt{1 - \frac{\langle v_{\text{rel}}^2 \rangle}{c^2}} \quad (\text{A4})$$

Conclusie

Zowel in coherente als in decoherente systemen is de totale tijdsdilatatie consistent met de individuele dilatatie van de onderliggende wervelknopen. Dit verklaart waarom complexe systemen — atoomklokken, kristallen, biologische ritmes — universeel vertraagd lopen in zwaartekrachtsvelden of bij hoge snelheden: hun interne structuur is opgebouwd uit dezelfde roterende vorticeitskernen.

Deze afleiding bevestigt dat het VAM-model schaalonafhankelijk functioneert en tijdsdilatatie reproduceert op zowel micro- als macroscopisch niveau.

Appendix B: Afwijkende Voorspellingen ten opzichte van Algemene Relativiteit

Het Vortex Æther Model (VAM) reproduceert veel bekende resultaten van de algemene relativiteit (GR), maar suggereert ook een aantal experimenteel toetsbare afwijkingen in regimes waar de klassieke geometrische theorie geen expliciete verklaring biedt. Hieronder formuleren wij drie concrete situaties waarin het VAM-model predicties maakt die (in principe) afwijken van GR.

1. Tijdsdilatatie in roterende superfluida

In roterende superfluiden zoals vloeibaar helium of Bose-Einstein Condensaten (BECs), ontstaan macroscopische kwantumvortices met meetbare angular velocity ω . Binnen VAM geldt lokale tijdsdilatatie via:

$$d\tau = dt \cdot \sqrt{1 - \frac{\omega^2 R^2}{c^2}}, \quad (\text{A5})$$

waarbij R de afstand tot het wervelcentrum is. Dit effect is meetbaar via klokverschuivingen op μs -schaal indien men atoomklokken plaatst op verschillende locaties binnen een roterende BEC.

2. Vorticeitsafhankelijke vertraging in LENR-achtige systemen

VAM voorspelt dat bij sterk oscillatoire elektromagnetische cavitatie (zoals bij laagenergetische kernreacties) een lokale swirl-potentiaal ontstaat:

$$\Phi_{\text{swirl}} = \frac{1}{2}\omega^2 r^2 \Rightarrow \Delta\tau \sim \frac{\Phi_{\text{swirl}}}{c^2} \cdot dt. \quad (\text{A6})$$

Hierdoor zou interne tijd in wervelrijke nano-structuren meetbaar vertragen. Toepassing op Pd/D-elektroden met μs -resolutie kan deze vertraging detecteren via optische meetintervallen of anomalieën in gamma-ruisprofielen.

3. Lichtafbuiging zonder ruimtetijdkromming

In plaats van geodetische afbuiging in een gekromde ruimte, beschouwt VAM licht als stromend in een æther met inhomogene snelheid. De afbuiging volgt dan uit een brekingsgradiënt:

$$\nabla n(\vec{r}) = \frac{1}{c} \frac{\partial v_{\text{æ}}}{\partial r} \Rightarrow \delta\theta = \int \frac{dn}{dr} dr, \quad (\text{A7})$$

wat experimenteel testbaar is via analoge zwaartekrachtssimulaties in roterende vloeistofbakken of optische metamaterialen met swirl-indexverloop.

Deze scenario's tonen aan dat het VAM-model experimenteel onderscheidend gedrag voorspelt in situaties waar GR neutraal of onvoorspellend is. Verdere experimentele validatie is noodzakelijk om de toepasbaarheid van deze voorspellingen vast te stellen.